

# II-124 橋脚周辺の洗掘、特に迎え角による効果について

日本大学理工学部 正員 ○栗津清藏  
日本大学理工学部 正員 倉持明夫

## I. まえがき

橋脚周辺の洗掘に対する、迎え角の効果については Laursen; (Scour with continuous sediment motion) [1] , 古賀; (Clear water scour) [2] 等の研究がある。それらは迎え角θが ZERO のときの最大洗掘深  $h_{so}$  を基準として、 $\theta = \Theta$  のときの最大洗掘深  $h_{s\theta}$  との相対洗掘深  $h_{s\theta}/h_{so}$  に注目し、実験的に解析して [3], [4] で Laursen は  $K_\alpha = h_{s\theta}/h_{so}$ ,  $L/b$  (Pier length-width ratio),  $\alpha$  (Angle of attack) などの関係を図-1 のように示して [3]。

一般に洗掘現象を解析するには種々の手法があるが、その出発点に注目して大別すると次のようないくつかの方法論に分類されるものと考えられる。

a) 方法論-I: 固定床における局所流に注目して出発する方法。

b) 方法論-II: 移動床の安定理論 (Regime theory) に注目して出発する方法。

c) 方法論-III: その他の要に注目して出発する方法。

この報告は a), b) の 2 つの方法論に従って二つの課題について行なった研究成果の一部である。

## II. 方法論-I

$\theta = 0$  の場合、固定床、移動床実験 (Clear water scour) によって栗津は次の結果を得た、[3], [4]

$$U_b/U_{np} = 2.50K + 0.860 \quad (1)$$

$$U_{np*}/U_{*c} = 9.86 / (2.50K + 0.860) \quad (2)$$

$$h_s/h_{np} = 2.89 \log_{10} U_{np}/U_{np*} \quad (3)$$

これらの関係から、もし  $U_{np}$ ,  $h_{np}$  の水理量と  $U_{*c}$  の向かう負荷が全く等しい場合、固定床実験結果より最大底流速  $U_b$  は  $K = d/B$  , 最大洗掘深は  $U_b$  は水と水比例するといが理解される、このことには注目すると、迎え角θによる洗掘深への効果を検討するため、図-2 の橋脚に対するとして、固定床における局所流に就て、最大底流速  $U_b$  に対して次のように想定する、ただし  $U_b$  の添字は迎え角θを示し、 $K_\theta = d'/B$ ,  $K_\theta' = d'/B$ , C は橋脚形状、抗力係数などと示す無次元項と仮定する。

$$F(U_{b\theta}/U_{b0}, K_\theta/K_0, C) = 0 \quad (4)$$

この関係を調べるために、 $B = 20\text{cm}$ ,  $R = 1.0\text{cm}$ ,  $\theta = 0^\circ, 10^\circ, 20^\circ, 30^\circ$  の場合の実験値を plot, 図-3 の結果が得られ、 $K_\theta/K_0 = d'/d = (t/2r) \sin \theta + 1$  が重要な因子であることが確認された、つまり相対洗掘深  $h_{s\theta}/h_{so}$  の支配的因子

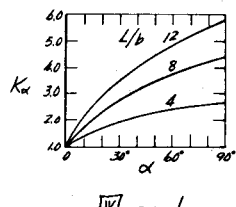


図-1

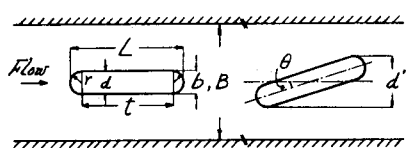


図-2

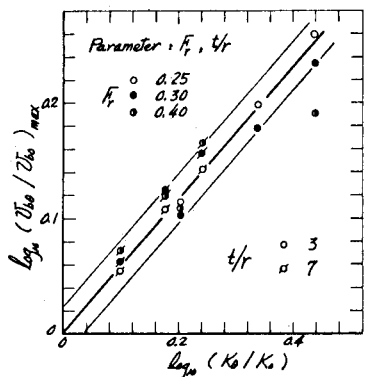


図-3

$t \leq K_0/K_o$  が予想される。

洗掘深についての実験を行なった例は、表に示された範囲で実験を行なう、安走最大洗掘深を測定した、なお実験は Clear water scour の状態で安走洗掘深を得たため 36m。

80時間必要とした。二水の実験値を plot したのが図-4である、前述の予想の妥当性は確認されたけれども、資料には相当のバラツキが見られ、今後は検討する余地があると考へる。

次に Laursen の結果と比較するには、彼の使用模型の形状、寸法など不明な点がある。十分比較は不能であるが、図-1 の  $\alpha \leq 30^\circ$  の部分を対象にして、模型形状を図-2 の形状にあわかえて図示すると図-5 が得られる、二水の相違は水路幅の効果、形状、抗力係数、Clear water scour or Scour with continuous sediment motionなどをよどむと推論されるが系統的研究によつて検証する必要がある、もし図の二つ配が  $K_o$  に比例すれば後者だと、Laursen の  $K_o$  は 0.026 に相当するといふが知られる、なお図-4 より次の実験式が得られる。

$$\frac{h_{so}}{h_{so}} = (K_o/K_o)^{2.433} \quad \left. \begin{array}{l} 0.051 \leq K_o \leq 0.129 \\ \theta \leq 30^\circ \end{array} \right\} \quad (5)$$

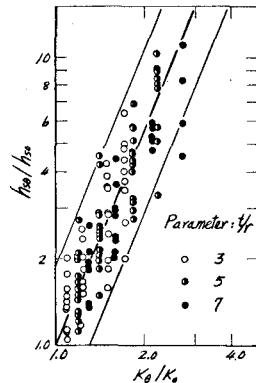


図-4

### III. 方法論-II

河床安定理論: 注目して、 $\theta = 0^\circ$  の場合、栗津は Regime depth として次の式を提案した[5]。

$$h \sqrt{f} = 1.44 \left( \frac{\theta}{1-K} \right)^{2/3} \quad \left. \begin{array}{l} K = d/B = K_o \\ K_o = d'/B \end{array} \right\} \quad (6)$$

巨視的立場から洗掘発生限界並びに洗掘深ルールについて(6)式は十分安全側であることを示した、すなはち逆立角の場合、 $d$  の代りに  $d'$  を用い、すなはち  $K$  の代りに  $K_o = d'/B$  を用いて、実験値を plot すると図-6 が得られるが、従つて  $K$  は橋脚の水路に沿う投影幅と水路幅との比と差異すらなく、逆立角がある場合でも(6)式が十分安全側であることが確認される。最後にこの研究は小川青英会研究助成の補助金を受けた上で付記致します。

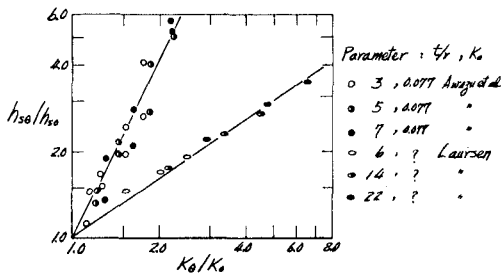


図-5

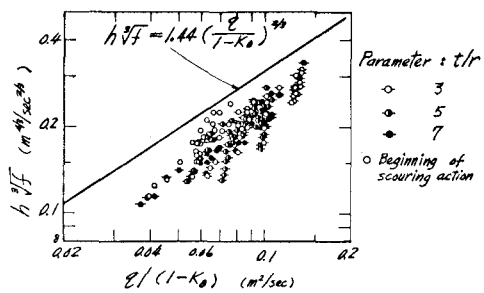


図-6

- [1]. Laursen: "Scour at Bridge Crossings", Trans. A.S.C.E. 1963, or Henderson: "Open Channel Flow", 1963. Macmillan. [2] 古賀:「洗掘深の逆立角による効果」: 21回日本土木学会研究科修士論文発表集 1974, [3] 栗津:「橋脚の周囲の洗掘」: 25回土木学会年次学術講演会, [4] 栗津:「橋脚の周囲の洗掘」: 26回土木学会年次学術講演会, [5] 栗津:「橋脚の周囲の洗掘」: 28回土木学会年次学術講演会。